

УДК 621.391 : 519.725.3

© 2022 г. А.Ю. Баринов

ПРИВЕДЕНИЕ РЕКУРСИВНЫХ ФИЛЬТРОВ К ПРЕДСТАВЛЕНИЮ РАЗРЕЖЕННЫМИ МАТРИЦАМИ

Рекурсивный фильтр как часть рекурсивного сверточного кодера имеет практическую значимость в схемах составных кодов с перемежением. В статье рассматривается матричное описание рекурсивных фильтров во временной области над конечным полем \mathbb{F}_2 . Исследовано и формализовано приведение матриц, описывающих рекурсивные фильтры (с перфорацией), к разреженным матрицам специального вида. Основное внимание направлено на исследование двоичных последовательностей рекурсивных фильтров с перфорацией каждого второго бита. Дается приложение полученных разреженных матриц к нахождению перфорированных передаточных функций для таких фильтров. Предложен подход к минимальной схемной реализации перфорированных передаточных функций. Приведены примеры схемной реализации перфорированных турбокодов как двойных турбокодов.

Ключевые слова: рекурсивный фильтр, импульсная характеристика, перфорация, разреженная матрица, сверточный код, усечение сверточного кода, рекурсивный систематический сверточный кодер, минимальный кодер, двойной турбокод, идентификация перемежителя.

DOI: 10.31857/S0555292322010028

§ 1. Введение

Начиная с появления турбокодов [1], рекурсивные сверточные кодеры (кодеры с обратной связью) стали привлекать к себе повышенный интерес. Сегодня данные кодеры находят применение во многих передовых схемах помехоустойчивого кодирования, включая: классические (сверточные) турбокоды [1,2], двойные (duo-binary) турбокоды [3,4], коды повторения-накопления (repeat accumulate (RA) codes) [5,6]. Перечисленные коды часто называют турбоподобными [7].

Рекурсивный сверточный кодер по сути является сверточным кодером общего вида и описывается рациональной матричной передаточной функцией (рациональной порождающей матрицей)

$$G(D) = \{g_{ij}(D) = f_{ij}(D)/q_{ij}(D), i = 0, \dots, k-1, j = 0, \dots, n-1\},$$

элементы которой – рациональные передаточные функции соответствующих рекурсивных фильтров, где формальная переменная D имеет смысл задержки на один такт.

На практике, как правило, используют рекурсивные систематические сверточные кодеры (recursive systematic convolutional (RSC) encoders). Для достижения высоких скоростей передачи проверочная часть RSC-кодера подвергается перфорации (выкальванию) [8], часто удаляют каждый второй символ проверочной части [1,9].

Известно, что кодеры, порождающие один и тот же код, называются эквивалентными. В [10] показано, что для любого рекурсивного сверточного кодера $G_1(D)$ можно найти эквивалентный сверточный кодер $G_2(D)$ как

$$G_2(D) = Q(D)G_1(D),$$

где $Q(D) = \text{НОК}(\{q_{ij}(D)\})$.

Следовательно, исследование свойств сверточных кодов можно проводить на основе рассмотрения полиномиальных передаточных функций нерекурсивных фильтров. Например, рекурсивный фильтр $\frac{f(D)}{q(D)}$ можно привести к нерекурсивному фильтру $f(D) = q(D)\frac{f(D)}{q(D)}$.

В случае перфорации выходной последовательности рекурсивного фильтра вид его перфорированной рациональной передаточной функции не очевиден. С другой стороны, возможно представление рекурсивного фильтра с перфорацией во временной форме в виде матрицы бесконечного порядка, строки которой – перфорированные сдвиги импульсной характеристики фильтра.

В работе [11] предложено применять произведение матрицы рекурсивного фильтра (с перфорацией) $\frac{f(D)}{q(D)}$ на матрицу фильтра $q(D)$ справа к идентификации перемежителя турбоподобного кода. Это преобразование приводит к разреженной матрице со структурой и показало практическую ценность при идентификации перемежителя в условиях помех.

Основная цель настоящей статьи – исследование свойств (перфорированной) последовательности рекурсивного фильтра $\frac{f(D)}{q(D)}$ на основе анализа произведения матрицы данного фильтра на матрицу фильтра $q(D)$ во временной форме. В настоящей статье обобщается и доказывается теоретический результат, полученный в [11], а также рассматривается его приложение к нахождению полиномиального представления и схемной реализации RSC-кодера с перфорацией.

Статья организована следующим образом. В § 2 даются основные определения и обозначения, рассматривается матричное описание рекурсивных фильтров во временной области. В § 3 представлены результаты о разреженных матрицах, полученных из (перфорированных) матриц рекурсивных фильтров, в частности, с перфорацией каждого второго бита на выходе. В § 4 рассмотрено приложение представленных результатов к нахождению перфорированных передаточных функций для рекурсивных фильтров с перфорацией, предложен подход к минимальной схемной реализации данных функций, обсуждаются возможные схемные реализации некоторых турбокодов. Заключение дано в § 5.

§ 2. Предварительные сведения

Определение 1. Множество всевозможных последовательностей на выходе линейной схемы, приведенной на рис. 1, назовем сверточным кодом со скоростью $R = k/n$.

На практике в основном используются двоичные сверточные коды, поэтому далее в статье рассматриваются последовательности битов (логических 0 (нулей) и 1 (единиц)) и операции в конечном поле \mathbb{F}_2 .

На каждом такте работы кодера ($i = 0, 1, \dots$) на его вход поступает блок из k входных информационных битов $\mathbf{u}_i = (u_{i,1}, \dots, u_{i,k})$, тогда как с выхода схемы считывается очередной кодовый блок из n кодовых битов $\mathbf{v}_i = (v_{i,1}, \dots, v_{i,n})$. Таким образом, любой полубесконечной информационной последовательности $\mathbf{u} = (\mathbf{u}_0, \mathbf{u}_1, \dots)$ сопоставляется полубесконечное кодовое слово $\mathbf{v} = (\mathbf{v}_0, \mathbf{v}_1, \dots)$.

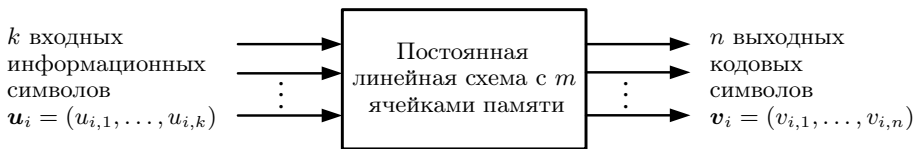


Рис. 1. Сверточный кодер со скоростью $R = k/n$

Кодирование сверточным кодом в полиномиальном виде представляет собой произведение

$$\mathbf{v}(D) = \mathbf{u}(D)G(D),$$

где $G(D)$ – матричная передаточная функция сверточного кодера.

Перфорированные сверточные коды были введены в [12] для получения высокоскоростных кодов. Перфорация кода состоит в систематическом удалении из процесса передачи в канал проверочных битов с выхода кодера. Матрица перфорации **Perf** задает правило удаления выходных битов. Обычно правило перфорации является периодическим [13].

Определение 2. Для сверточного кодера со скоростью $R = k/n$ матрица перфорации **Perf** – это двоичная $(n \times n_p)$ -матрица, элементы которой perf_{ij} указывают, что соответствующий выходной бит будет передан ($\text{perf}_{ij} = 1$) или нет ($\text{perf}_{ij} = 0$), где n – количество выходов кодера, n_p – период перфорации, i – номер выхода, j – номер такта. Каждая строка данной матрицы представляет собой вектор перфорации perf_i для i -го выхода кодера.

Следует заметить, что множество последовательностей одного и того же сверточного кода может быть сгенерировано различными кодерами, причем некоторые кодеры могут быть предпочтительнее других. Для составных кодов часто выбирают компонентные рекурсивные сверточные кодеры, в том числе с перфорацией. Например, классический турбокод обычно основан на параллельном соединении RSC-кодеров вида $(1 \ f(D)/q(D))$, тогда как в двойных турбокодах могут использовать RSC-кодеры вида $\begin{pmatrix} 1 & 0 & f(D)/q(D) \\ 0 & 1 & g(D)/q(D) \end{pmatrix}$. Неотъемлемой частью систематических кодов повторения-накопления, а также их модификаций, является RSC-кодер конкретного вида $-(1 \ 1/(1+D))$ [6].

Рассмотрим RSC-кодер $(1 \ f(D)/q(D))$. Данный RSC-кодер можно описать порождающей матрицей бесконечного порядка

$$\mathbf{G} = (\mathbf{I} \ \mathbf{P}),$$

где \mathbf{I} – полубесконечная единичная матрица, \mathbf{P} – полубесконечная матрица, генерирующая проверочные биты кода.

Матрица \mathbf{P} представляет рекурсивный фильтр $f(D)/q(D)$ из состава RSC-кодера во временной области.

Рекурсивные сверточные кодеры строятся на основе рекурсивных фильтров $f(D)/q(D)$ с реализуемой (т.е. $q_0 = 1$) передаточной функцией

$$P(D) = \frac{f(D)}{q(D)} = \frac{f_0 + f_1 D + \dots + f_m D^m}{1 + q_1 D + \dots + q_m D^m},$$

где m – память фильтра.

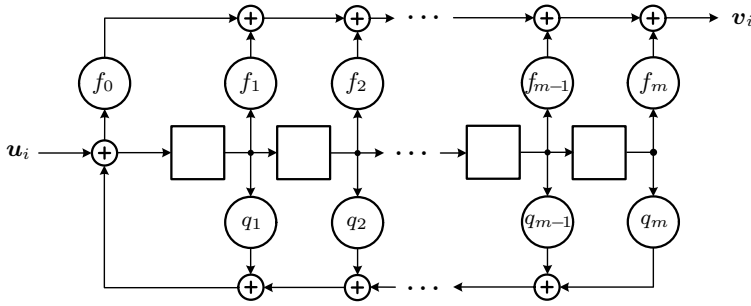


Рис. 2. Каноническая форма цифрового фильтра с вынесенными сумматорами (controller canonical form)

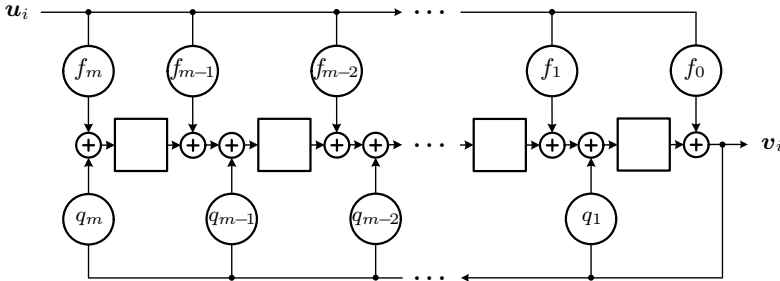


Рис. 3. Каноническая форма цифрового фильтра со встроенными сумматорами (observer canonical form)

Данные на входе и выходе фильтра представим в виде полиномов

$$u(D) = u_0 + u_1 D + u_2 D + \dots,$$

$$v(D) = v_0 + v_1 D + v_2 D + \dots,$$

тогда

$$v(D) = u(D) \frac{f(D)}{q(D)} = u(D) \frac{f_0 + f_1 D + \dots + f_m D^m}{1 + q_1 D + \dots + q_m D^m}.$$

С другой стороны, это равенство можно переписать как

$$v(D) = u(D)(f_0 + f_1 D + \dots + f_m D^m) + v(D)(q_1 D + \dots + q_m D^m).$$

Две канонические реализации фильтра с передаточной функцией $P(D) = f(D)/q(D)$ показаны на рис. 2, 3.

Рекурсивный фильтр использует элементы памяти и выполняет операции в \mathbb{F}_2 (т.е. с использованием логики “исключающее ИЛИ”) над содержимым памяти и информационными битами на своем входе. Во временной области рекурсивный фильтр можно описать разностным уравнением

$$v_i = \sum_{j=0}^m u_{i-j} f_j + \sum_{j=1}^m v_{i-j} q_j, \quad i = 0, 1, \dots, \quad (1)$$

где здесь и далее в статье $x_{\text{ind}} = 0$ для всех $\text{ind} < 0$.

Саму операцию фильтрации можно записать как

$$v_i = \sum_{j=0}^m u_{i-j} p_j, \quad i = 0, 1, \dots,$$

где здесь и далее $\{p_i\} = (p_0, p_1, \dots)$ – биты бесконечной импульсной характеристики (БИХ) рекурсивного фильтра $P(D) = f(D)/q(D)$.

Данную операцию в матричном виде можно представить как

$$\mathbf{v} = \mathbf{u}\mathbf{P},$$

где \mathbf{P} – полубесконечная матрица, строки которой – сдвиги БИХ рекурсивного фильтра.

В реальности сеансы связи конечны, информацию передают блоками конечной длины (например, несколько тысяч бит) [13]. Самый простой способ получения блочного кода из сверточного кода – прямое усечение (direct truncation) [14]. Для RSC-кодера (1 $f(D)/q(D)$) конструкция с прямым усечением кодовых последовательностей приводит к блочному $(2K, K, d_{DT})$ -коду C_{DT} с матрицей $\mathbf{P}^{(DT)}$, генерирующей проверочные биты данного кода

$$\mathbf{P}^{(DT)} = \begin{pmatrix} p_0 & p_1 & \dots & & p_{K-1} \\ & p_0 & p_1 & \dots & p_{K-2} \\ & & \ddots & \ddots & \vdots \\ & & & p_0 & p_1 \\ & & & & p_0 \end{pmatrix},$$

здесь и далее пустые области матриц считаются заполненными нулями.

Усечение с обнулением состояния (zero-tail termination) предусматривает добавление “хвоста” из m нулей к каждому информационному блоку длины K , при этом на период заполнения памяти m нулями обратную связь кодера отключают [15]. В случае RSC-кодера (1 $f(D)/q(D)$) данная конструкция приводит к блочному $(2K + 2m, K, d_{ZT})$ -коду C_{ZT} с матрицей $\mathbf{P}^{(ZT)}$, генерирующей проверочные биты данного кода

$$\mathbf{P}^{(ZT)} = \begin{pmatrix} p_0 & p_1 & \dots & & p_{K-1} \\ & p_0 & p_1 & \dots & p_{K-2} \\ & & \ddots & \ddots & \vdots & f_m \\ & & & p_0 & p_1 & \vdots & \ddots \\ & & & & p_0 & f_1 & \dots & f_m \end{pmatrix}.$$

При циклическом усечении (tail-biting) [10,14] для RSC-кодера (1 $f(D)/q(D)$) на длине K получаем блочный $(2K, K, d_{TB})$ -код C_{TB} с матрицей $\mathbf{P}^{(TB)}$, генерирующей проверочные биты данного кода

$$\mathbf{P}^{(TB)} = \begin{pmatrix} p_0 & p_1 & \dots & p_{K-2} & p_{K-1} \\ p_{K-1} & p_0 & \dots & p_{K-3} & p_{K-2} \\ \vdots & \vdots & \ddots & \vdots & \vdots \\ p_2 & p_3 & \dots & p_0 & p_1 \\ p_1 & p_2 & \dots & p_{K-1} & p_0 \end{pmatrix}.$$

§ 3. Приведение рекурсивных фильтров к представлению разреженными матрицами

В этом параграфе проанализируем приведение матриц, описывающих рекурсивные фильтры $f(D)/q(D)$ (с перфорацией) во временной форме, к разреженным матрицам специального вида. Данное приведение выражается в умножении на матрицу \mathbf{Q} , соответствующую полиному $q(D)$ в знаменателе рекурсивного фильтра.

Определение 3. Матрица, имеющая небольшой процент ненулевых элементов, называется разреженной.

В настоящей статье матрица размера $M \times K$, содержащая τ единиц, будет считаться разреженной, если $\tau \ll MK$, причем $MK > 10^3$.

Определение 4. Разреженная матрица \mathbf{G} называется ленточной матрицей с шириной ленты β , если для всех ее ненулевых элементов g_{ij} выполняется условие $|i - j| \leq \beta$.

Рассмотрим рекурсивный фильтр $P(D) = f(D)/q(D)$, которому во временной области соответствует полубесконечная матрица \mathbf{P} .

Теорема 1. Пусть \mathbf{P} – матрица, строки которой являются сдвигами импульсного отклика фильтра $f(D)/q(D)$, \mathbf{Q} – матрица, строки которой являются сдвигами импульсного отклика фильтра $q(D)$. Тогда $\mathbf{F} = \mathbf{QP} = \mathbf{PQ}$ – матрица, строки которой являются сдвигами импульсного отклика фильтра $f(D)$ и представляет собой ленточную матрицу с шириной ленты $\beta \leq m + 1$.

Доказательство. В полиномиальном представлении матрице \mathbf{P} соответствует передаточная функция $P(D) = f(D)/q(D)$, тогда передаточная функция $q(D)P(D) = f(D)$ во временной области может быть представлена в виде

$$\mathbf{F} = \mathbf{QP} = \mathbf{PQ} = \begin{pmatrix} f_0 & f_1 & \dots & f_m & & \\ & f_0 & f_1 & \dots & f_m & \\ & & \ddots & \ddots & \ddots & \ddots \end{pmatrix},$$

где

$$f_i = \sum_{j=0}^m q_j p_{i-j}, \quad i = 0, 1, \dots, m. \quad \blacktriangle$$

Последнее уравнение можно использовать для построения рекурсивного фильтра $f(D)/q(D)$ по первым битам его БИХ при известном $q(D)$.

Если определенные биты на выходе рекурсивного фильтра удаляются, то данному фильтру с перфорацией соответствует матрица \mathbf{P}_{perf} .

Обычно правило перфорации является периодическим. Например, при удалении каждого второго бита на выходе рекурсивного фильтра согласно вектору перфорации $\text{perf} = (0 \ 1)$ получим матрицу

$$\mathbf{P}_{(0 \ 1)} = \begin{pmatrix} p_1 & p_3 & p_5 & \dots & \\ p_0 & p_2 & p_4 & \dots & \\ & p_1 & p_3 & p_5 & \dots \\ & p_0 & p_2 & p_4 & \dots \\ & & \ddots & \ddots & \ddots & \ddots \end{pmatrix},$$

согласно вектору перфорации $\mathbf{perf} = (1 \ 0)$ соответственно получим

$$\mathbf{P}_{(1 \ 0)} = \begin{pmatrix} p_0 & p_2 & p_4 & \dots & & & & \\ & p_1 & p_3 & p_5 & \dots & & & \\ & p_0 & p_2 & p_4 & \dots & & & \\ & & p_1 & p_3 & p_5 & \dots & & \\ & & p_0 & p_2 & p_4 & \dots & & \\ & & & \ddots & \ddots & \ddots & \ddots & \ddots \end{pmatrix}.$$

Далее в статье перфорация каждого второго бита преимущественно рассматривается на примере вектора перфорации $\mathbf{perf} = (0 \ 1)$, что соответствует перфорации нечетных битов. Рассуждения для перфорации четных битов, т.е. согласно вектору перфорации $\mathbf{perf} = (1 \ 0)$, аналогичны.

Из теоремы 1 получаем

Следствие 1. Матрицу $\mathbf{F}_{\mathbf{perf}}$, описывающую фильтр $f(D)$ с перфорацией, можно получить в результате умножения матрицы $\mathbf{P}_{\mathbf{perf}}$ на соответствующую полиному обратной связи $q(D)$ ленточную матрицу \mathbf{Q} слева:

$$\mathbf{F}_{\mathbf{perf}} = \mathbf{Q}\mathbf{P}_{\mathbf{perf}},$$

альтернативным образом матрицу $\mathbf{F}_{\mathbf{perf}}$ можно получить удалением определенных столбцов соответствующей матрицы \mathbf{F} .

С другой стороны, для решения задачи идентификации перемежителя в работе [11] предложено умножать матрицу $\mathbf{P}_{(0 \ 1)}$, описывающую рекурсивный фильтр $f(D)/q(D)$ с перфорацией, на соответствующую полиному обратной связи $q(D)$ ленточную матрицу \mathbf{Q} справа. При этом получим следующую матрицу:

$$\mathbf{Y}_{(0 \ 1)} = \mathbf{P}_{(0 \ 1)}\mathbf{Q}. \quad (2)$$

В работе [11] утверждается, что матрица $\mathbf{Y}_{(0 \ 1)}$ генерирует модифицированную перфорированную последовательность рекурсивного фильтра, каждый член которой зависит от ограниченного количества $\leq 2m$ входных информационных битов. Докажем данное утверждение, которое имеет значение для идентификации перемежителя турбоподобного кода в условиях априорной неопределенности при наличии помех.

Теорема 2. Пусть матрица $\mathbf{P}_{(0 \ 1)}$ описывает рекурсивный фильтр $\frac{f(D)}{q(D)} = \frac{f_0 + f_1D + \dots + f_mD^m}{1 + q_1D + \dots + q_mD^m}$ с перфорацией. Тогда матрица $\mathbf{Y}_{(0 \ 1)} = \mathbf{P}_{(0 \ 1)}\mathbf{Q}$ является разреженной.

Доказательство. Матрица $\mathbf{Y}_{(0 \ 1)}$ является результатом произведения матриц специального вида, следовательно, может быть представлена в виде

$$\mathbf{Y}_{(0 \ 1)} = \begin{pmatrix} y_1 & y_3 & y_5 & \dots & & & & \\ y_0 & y_2 & y_4 & \dots & & & & \\ & y_1 & y_3 & y_5 & \dots & & & \\ & y_0 & y_2 & y_4 & \dots & & & \\ & & \ddots & \ddots & \ddots & \ddots & & \ddots \end{pmatrix},$$

где

$$y_i = \sum_{j=0}^m q_j p_{i-2j}, \quad i = 0, 1, \dots \quad (3)$$

с перфорированной рациональной передаточной функцией

$$P_{(0\ 1)}(D) = \begin{pmatrix} y_1(D)/q(D) \\ y_0(D)/q(D) \end{pmatrix}$$

в случае перфорации нечетных битов, и

$$P_{(1\ 0)}(D) = \begin{pmatrix} y_0(D)/q(D) \\ Dy_1(D)/q(D) \end{pmatrix}$$

в случае перфорации четных битов, где

$$\begin{aligned} y_0(D) &= y_0 + y_2D + y_4D^2 + \dots + y_{2m}D^m, \\ y_1(D) &= y_1 + y_3D + y_5D^2 + \dots + y_{2m-1}D^{m-1}, \end{aligned}$$

а коэффициенты $(y_0, y_1, \dots, y_{2m})$ определяются формулой (6) по коэффициентам (f_0, f_1, \dots, f_m) и $(q_0 = 1, q_1, \dots, q_m)$ фильтра $f(D)/q(D)$.

Доказательство. В соответствии с теоремой 2 и структурой матрицы (5) равенство (2) можно записать в полиномиальном виде как

$$Y_{(0\ 1)}(D) = P_{(0\ 1)}(D)q(D),$$

где

$$\begin{aligned} P_{(0\ 1)}(D) &= \begin{pmatrix} p_1(D) \\ p_0(D) \end{pmatrix}, \\ p_0(D) &= p_0 + p_2D + p_4D^2 + \dots, \\ p_1(D) &= p_1 + p_3D + p_5D^2 + \dots, \end{aligned}$$

$\{p_i\} = (p_0, p_1, \dots)$ – БИХ рекурсивного фильтра $P(D) = f(D)/q(D)$,

$$Y_{(0\ 1)}(D) = \begin{pmatrix} y_1(D) \\ y_0(D) \end{pmatrix}.$$

В силу этого

$$P_{(0\ 1)}(D) = \begin{pmatrix} y_1(D)/q(D) \\ y_0(D)/q(D) \end{pmatrix}.$$

Вид функции $P_{(1\ 0)}(D)$ доказывается аналогично. ▲

В качестве следствия теоремы 5 получаем

Следствие 2. Для рекурсивного фильтра $P(D) = f(D)/q(D)$ с t -кратной перфорацией каждого второго бита, определяемой вектором $\mathbf{perf} = (0\ 1)$, перфорированная рациональная передаточная функция имеет вид

$$P_{\mathbf{perf}^{(t)}}(D) = \begin{pmatrix} y_{2^t-1}(D)/q(D) \\ \dots\dots\dots\dots\dots\dots\dots\dots\dots \\ y_1(D)/q(D) \\ y_0(D)/q(D) \end{pmatrix},$$

где каждый из полиномов $y_0(D), y_1(D), \dots, y_{2^t-1}(D)$ имеет степень $\leq m$.

Рассмотрим следующий

Пример 2. В RA-кодах, а также в их модификациях, одной из ключевых компонент является фильтр с передаточной функцией $1/(1+D)$ с разными правилами перфорации. Для случая перфорации каждого второго бита на выходе данного

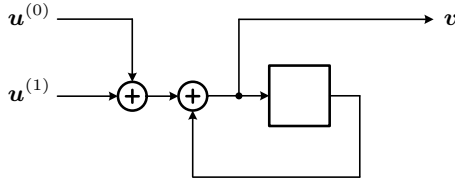


Рис. 4. Двойной рекурсивный фильтр для примера 2

фильтра, применив теорему 5, получим перфорированную рациональную передаточную функцию

$$P_{(0\ 1)}(D) = \left(\frac{1/(1+D)}{1/(1+D)} \right).$$

Легко заметить, что полученную функцию можно оптимально реализовать как двойной рекурсивный фильтр, изображенный на рис. 4.

Однако схемная реализация функции $P_{(0\ 1)}(D)$ общего вида с минимальным количеством элементов памяти далеко не очевидна. Можно воспользоваться стандартным методом минимизации последовательных схем (см., например, [16, 17]).

Представим оригинальный подход к минимальной схемной реализации функции вида $P_{(0\ 1)}(D)$ на основе анализа импульсных характеристик, которые являются полной характеристикой системы.

Сперва сформулируем свойство импульсной характеристики фильтра $f(D)/q(D)$ в виде следующей леммы.

Лемма 1. Предположим, что полином обратной связи $q(D)$ для рекурсивного фильтра $f(D)/q(D)$ памяти m является примитивным, а это означает, что в состав фильтра входит регистр сдвига с линейной обратной связью (РСЛОС), генерирующий повторяющуюся последовательность максимальной длины $N = 2^m - 1$: $\{\mathbf{h}, \mathbf{h}, \dots, \mathbf{h}, \dots\}$, где $\mathbf{h} = (h_1, h_2, \dots, h_N)$. Тогда импульсная характеристика данного фильтра имеет вид $\mathbf{p} = \{f_0, \mathbf{h}(i), \mathbf{h}(i), \dots, \mathbf{h}(i), \dots\}$, где $\mathbf{h}(i)$ – i -кратный циклический сдвиг вектора \mathbf{h} , т.е. $\mathbf{h}(i) = (h_{N-i+1}, h_{N-i+2}, \dots, h_N, h_1, h_2, \dots, h_{N-i})$, $i \in [1, \dots, N]$.

Доказательство. Рассмотрим отклик рекурсивного фильтра $f(D)/q(D)$, реализованного в канонической форме со встроенными сумматорами (см. рис. 3), на единичный проходящий бит при нулевых начальных условиях S_0 . Видно, что на первом такте в ячейки памяти фильтра производится запись некоторого ненулевого состояния S_1 , а первый бит импульсной характеристики $p_0 = f_0$. При этом состояние S_1 зависит от мест подсоединения отводов фильтра. Поскольку в состав рекурсивного фильтра входит РСЛОС, генерирующий последовательность максимальной длины, то последующие состояния фильтра имеют вид $\{S_1, S_2, \dots, S_N, S_1, \dots\}$, т.е. повторяются через каждые N тактов. Следовательно, со второго такта импульсная характеристика рекурсивного фильтра определяется последовательностью максимальной длины, сгенерированной РСЛОС из некоторого состояния S_1 . ▲

Суть предлагаемого подхода к минимальной реализации фильтра изложена в следующей теореме.

Теорема 6. Рациональную передаточную функцию вида

$$P_{(0\ 1)}(D) = \left(\begin{array}{l} f(D)/q(D) = \frac{f_0 + f_1 D + \dots + f_m D^m}{1 + q_1 D + \dots + q_m D^m} \\ g(D)/q(D) = \frac{g_0 + g_1 D + \dots + g_m D^m}{1 + q_1 D + \dots + q_m D^m} \end{array} \right),$$

где $q(D)$ – примитивный полином степени m , можно реализовать на основе только схемы фильтра $f(D)/q(D)$ или фильтра $g(D)/q(D)$ с использованием дополнительных сумматоров.

Доказательство. Возьмем фильтр $f(D)/q(D)$ в канонической форме с вынесенными сумматорами (см. рис. 2). Изначально все разряды данного фильтра заполнены нулями и находятся в состоянии S_0 . При импульсном воздействии последующие состояния и соответствующие им биты импульсной характеристики фильтра $f(D)/q(D)$ имеют вид

$$\begin{array}{cccccccc} S_0 & S_1 & S_2 & \dots & S_N & S_1 & S_2 & \dots \\ p_0 = f_0 & p_1 & p_2 & \dots & p_N & p_1 & p_2 & \dots \end{array}$$

Теперь возьмем фильтр $g(D)/q(D)$ в канонической форме с вынесенными сумматорами. Применяя лемму 1, импульсную характеристику фильтра $g(D)/q(D)$ выразим через биты $(p_1, p_2, \dots, p_N, \dots)$ импульсной характеристики фильтра $f(D)/q(D)$ как

$$g_0 \quad p_{N-i+1} \quad p_{N-i+2} \quad \dots \quad p_N \quad p_1 \quad p_2 \quad \dots \quad p_{N-i} \quad p_{N-i+1} \quad p_{N-i+2} \quad \dots$$

Тогда соответствие между состояниями и импульсной характеристикой фильтра $g(D)/q(D)$ в терминах фильтра $f(D)/q(D)$ имеет вид

$$\begin{array}{cccccccccccc} S_0 & S^* = S_{N-i+1} & S_{N-i+2} & \dots & S_N & S_1 & S_2 & \dots & S_{N-i} & S_{N-i+1} & S_{N-i+2} & \dots \\ g_0 & p_{N-i+1} & p_{N-i+2} & \dots & p_N & p_1 & p_2 & \dots & p_{N-i} & p_{N-i+1} & p_{N-i+2} & \dots \end{array}$$

Из этого соответствия следует, что фильтр $g(D)/q(D)$ можно реализовать на основе фильтра $f(D)/q(D)$ в канонической форме с вынесенными сумматорами (см. рис. 2), если на первом такте работы (отклика на единичное воздействие) фильтра на рис. 2:

- записать в ячейки памяти фильтра $d_1 \quad d_2 \quad \dots \quad d_m$ состояние $S^* = S_{N-i+1}$;
- обеспечить начальный бит импульсной характеристики фильтра g_0 .

Указанные требования можно выполнить, подав входную последовательность на встроенные в соответствующих местах схемы на рис. 2 сумматоры.

Таким образом, возможный вариант реализации функции $P_{(0 \ 1)}(D)$ – это схема фильтра $f(D)/q(D)$ на рис. 2, в которую добавлен второй вход через встроенные в соответствующих местах дополнительные сумматоры.

Реализация функции $P_{(0 \ 1)}(D)$ на основе фильтра $g(D)/q(D)$ доказывается аналогично. ▲

С учетом вышеизложенного представим алгоритм минимальной реализации рекурсивного фильтра $f(D)/q(D)$ с перфорацией каждого второго бита как двойного рекурсивного фильтра, где $q(D)$ – примитивный полином.

Шаг 1: Для фильтра $f(D)/q(D) = \frac{f_0 + f_1 D + \dots + f_m D^m}{1 + q_1 D + \dots + q_m D^m}$ получить перфорированную рациональную передаточную функцию

$$P_{(0 \ 1)}(D) = \left(\begin{array}{l} y_1(D)/q(D) = \frac{y_1 + y_3 D + y_5 D^2 + \dots + y_{2m-1} D^{m-1}}{1 + q_1 D + \dots + q_m D^m} \\ y_0(D)/q(D) = \frac{y_0 + y_2 D + y_4 D^2 + \dots + y_{2m} D^m}{1 + q_1 D + \dots + q_m D^m} \end{array} \right),$$

где

$$y_i = \sum_{j=0}^m q_j f_{i-j}, \quad i = 0, 1, \dots, 2m,$$

$q_0 = 1$, $f_{i-j} \stackrel{\text{def}}{=} 0$ для всех $i - j > m$.

Шаг 2: Взять фильтр $y_1(D)/q(D)$ в канонической форме с вынесенными сумматорами и записать его $N + 1 = 2^m$ состояний при импульсном воздействии, начиная с начального нулевого состояния S_0 :

$$S_0, S_1, S_2, \dots, S_N. \quad (7)$$

Шаг 3: Первые 2^m битов импульсной характеристики фильтра $y_1(D)/q(D)$

$$\{y_1, p_1, p_2, \dots, p_N\}$$

сравнить с первыми 2^m битами импульсной характеристики фильтра $y_0(D)/q(D)$

$$\{y_0, p_{N-i+1}, p_{N-i+2}, \dots, p_{N-i}\}.$$

Найти сдвиг i .

Определить состояние $S^* = S_{N-i+1}$ из (7).

Шаг 4: На схеме фильтра $y_1(D)/q(D)$ в канонической форме с вынесенными сумматорами организовать второй вход через встроенные в схему дополнительные сумматоры. Данный вход организовать таким образом, чтобы при поданном на него импульсном воздействии на первом такте работы фильтра выполнялись условия:

- запись в ячейки памяти фильтра $d_1 d_2 \dots d_m$ состояния S^* ;
- обеспечение начального бита импульсной характеристики фильтра $p_0 = y_0$.

Заметим, что возможна альтернативная реализация на основе схемы фильтра $y_0(D)/q(D)$. Лучше выбрать вариант, требующий меньшего количества сумматоров.

Рассмотрим применение алгоритма на примерах для кодеров турбокодов с перфорацией.

Пример 3. В составе кодера турбокода системы спутниковой связи Inmarsat нашел применение RSC-кодер

$$G(D) = \left(1 \quad (1 + D + D^2 + D^4)/(1 + D^3 + D^4) \right)$$

с перфорацией каждого второго проверочного бита [18], т.е. на выходе первого компонентного RSC-кодера удаляется каждый четный проверочный бит, на выходе второго компонентного RSC-кодера удаляется каждый нечетный проверочный бит (см. рис. 5, где π – перемежитель).

Отметим, что полином обратной связи $q(D) = 1 + D^3 + D^4$ является примитивным.

Возможная реализация показана на рис. 6 и не является ни одной из канонических форм представления (со встроенными сумматорами, с вынесенными сумматорами).

Для рекурсивного фильтра $(1 + D + D^2 + D^4)/(1 + D^3 + D^4)$ вычислим перфорированные рациональные передаточные функции

$$P_{(0 \ 1)}(D) = \begin{pmatrix} p_1(D) \\ p_0(D) \end{pmatrix} = \begin{pmatrix} \frac{1 + D + D^3}{1 + D^3 + D^4} \\ \frac{1 + D + D^2 + D^3 + D^4}{1 + D^3 + D^4} \end{pmatrix},$$

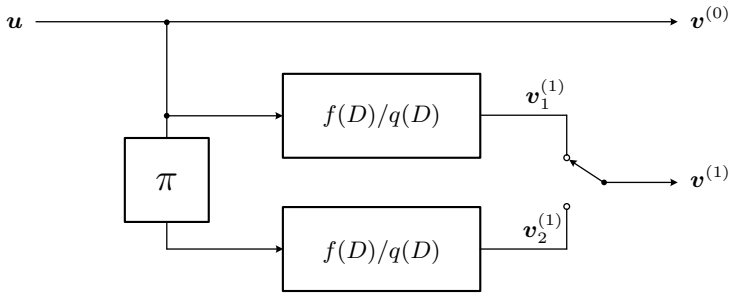


Рис. 5. Кодер систематического турбокода скорости 1/2

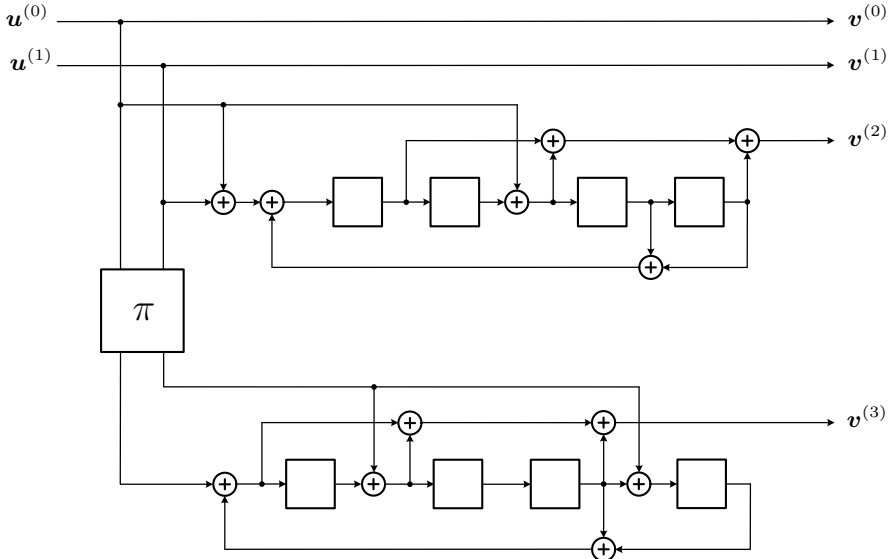


Рис. 6. Реализация кодера на рис. 5 при $\frac{f(D)}{q(D)} = \frac{1 + D + D^2 + D^4}{1 + D^3 + D^4}$ как кодера двойного турбокода

$$P_{(1\ 0)}(D) = \begin{pmatrix} p_0(D) \\ Dp_1(D) \end{pmatrix} = \begin{pmatrix} \frac{1 + D + D^2 + D^3 + D^4}{1 + D^3 + D^4} \\ \frac{D + D^2 + D^4}{1 + D^3 + D^4} \end{pmatrix}.$$

Рассмотрим минимизацию схемной реализации передаточной функции

$$P_{(1\ 0)}(D) = \begin{pmatrix} \frac{1 + D + D^2 + D^3 + D^4}{1 + D^3 + D^4} \\ \frac{D + D^2 + D^4}{1 + D^3 + D^4} \end{pmatrix}.$$

За основу такой схемы можно взять фильтр $\frac{1 + D + D^2 + D^3 + D^4}{1 + D^3 + D^4}$ или же фильтр $\frac{D + D^2 + D^4}{1 + D^3 + D^4}$ в канонической форме с вынесенными сумматорами. Возьмем фильтр

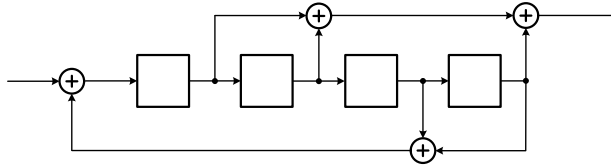


Рис. 7. Фильтр $\frac{D + D^2 + D^4}{1 + D^3 + D^4}$ в канонической форме с вынесенными сумматорами

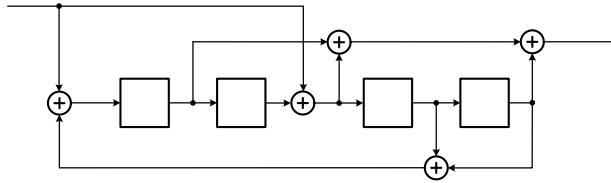


Рис. 8. Реализация фильтра $\frac{1 + D + D^2 + D^3 + D^4}{1 + D^3 + D^4}$ на основе схемы на рис. 7

$\frac{D + D^2 + D^4}{1 + D^3 + D^4}$, изображенный на рис. 7, так как для его реализации необходимо меньшее количество сумматоров (логики “исключающее ИЛИ”).

Изначально все разряды данного фильтра находятся в состоянии $S_0 = 0000$. Тогда при импульсном воздействии последующие состояния имеют вид

$$\begin{aligned} S_0 &= 0000 & S_1 &= 1000 & S_2 &= 0100 & S_3 &= 0010 & S_4 &= 1001 & S_5 &= 1100 \\ S_6 &= 0110 & S_7 &= 1011 & S_8 &= 0101 & S_9 &= 1010 & S_{10} &= 1101 & S_{11} &= 1110 \\ S_{12} &= 1111 & S_{13} &= 0111 & S_{14} &= 0011 & S_{15} &= 0001 & S_1 &= 1000 & S_2 &= 0100. \end{aligned}$$

Сравнив первые 16 битов импульсной характеристики фильтра $\frac{D + D^2 + D^4}{1 + D^3 + D^4}$

$$\{y_1, p_1, p_2, \dots, p_N\} = 0, 1, 1, 0, 0, 0, 1, 0, 0, 1, 1, 0, 1, 0, 1, 1$$

с первыми 16 битами импульсной характеристики фильтра $\frac{1 + D + D^2 + D^3 + D^4}{1 + D^3 + D^4}$

$$\{y_0, p_{N-i+1}, p_{N-i+2}, \dots, p_{N-i}\} = 1, 1, 1, 0, 1, 0, 1, 1, 1, 0, 0, 0, 1, 0, 0,$$

найдем $i = 7$, тогда $S^* = S_9 = 1010$.

Теперь на основе схемы фильтра $\frac{D + D^2 + D^4}{1 + D^3 + D^4}$, представленного на рис. 7, реализуем фильтр $\frac{1 + D + D^2 + D^3 + D^4}{1 + D^3 + D^4}$. В схеме на рис. 7 организуем вход таким образом, чтобы на первом такте работы (реакции на импульсное воздействие) фильтра на рис. 7:

- записать в ячейки памяти фильтра состояние $S^* = 1010$;
- обеспечить первый бит импульсной характеристики фильтра $y_0 = 1$.

Указанные условия можно выполнить, подав входную последовательность на встроенные в соответствующих местах схемы на рис. 7 сумматоры, как показано на рис. 8.

Таким образом, возможный вариант минимальной реализации $P_{(1\ 0)}(D)$ – это вычислитель проверочных битов $v^{(2)}$ на рис. 6.

Аналогично рассмотрим основные этапы минимизации схемной реализации для функции

$$P_{(0\ 1)}(D) = \left(\frac{\frac{1 + D + D^3}{1 + D^3 + D^4}}{\frac{1 + D + D^2 + D^3 + D^4}{1 + D^3 + D^4}} \right).$$

За основу схемы возьмем фильтр $\frac{1 + D + D^3}{1 + D^3 + D^4}$ в форме с вынесенными сумматорами. Сравнив первые 16 битов импульсной характеристики данного фильтра

$$\{y_1, p_1, p_2, \dots, p_N\} = 1, 1, 0, 0, 0, 1, 0, 0, 1, 1, 0, 1, 0, 1, 1, 1$$

с первыми 16 битами импульсной характеристикой фильтра $\frac{1 + D + D^2 + D^3 + D^4}{1 + D^3 + D^4}$

$$\{y_0, p_{N-i+1}, p_{N-i+2}, \dots, p_{N-i}\} = 1, 1, 1, 0, 1, 0, 1, 1, 1, 0, 0, 0, 1, 0, 0,$$

найдем $i = 8$, тогда $S^* = S_8 = 0101$.

Тогда фильтр $\frac{1 + D + D^2 + D^3 + D^4}{1 + D^3 + D^4}$ может быть реализован на основе фильтра $\frac{1 + D + D^3}{1 + D^3 + D^4}$, если на первом такте работы (реакции на импульсное воздействие) данного фильтра:

- записать в ячейки памяти фильтра состояние $S^* = 0101$;
- обеспечить начальный бит импульсной характеристики фильтра $y_0 = 1$.

Таким образом, схемная реализация $P_{(0\ 1)}(D)$ – это вычислитель проверочных битов $v^{(3)}$ на рис. 6.

Пример 4. В системах спутниковой телеметрии CCSDS рекомендует кодер турбокода на рис. 5 при $f(D)/q(D) = (1 + D + D^3 + D^4)/(1 + D^3 + D^4)$ [9]. Применяв предложенный алгоритм, получим возможную реализацию на рис. 9.

Отметим, что реализация фильтров с перфорацией в представленном виде может иметь преимущества. Например, использование в турбокодах двойных RSC-кодеров в сравнении с традиционными RSC-кодерами показывает меньшую задержку.

§ 5. Заключение

В статье получены следующие результаты.

Исследовано приведение рекурсивных фильтров (с перфорацией) к представлению разреженными матрицами, обладающими структурой. Найдены явные формулы расчета элементов приведенных разреженных матриц для рекурсивных фильтров с перфорацией каждого второго бита на выходе.

Рассмотрено приложение полученных разреженных матриц к нахождению перфорированных передаточных функций для рекурсивных фильтров с перфорацией каждого второго бита. Предложен подход к минимальной схемной реализации данных функций. Представлены возможные варианты схемной реализации некоторых турбокодов с перфорацией.

Приложение приведенных в статье разреженных матриц к задаче идентификации турбоподобных кодов в условиях априорной неопределенности при наличии помех предложено в [11], обсуждается в работах [19, 20] и является направлением дальнейших исследований.

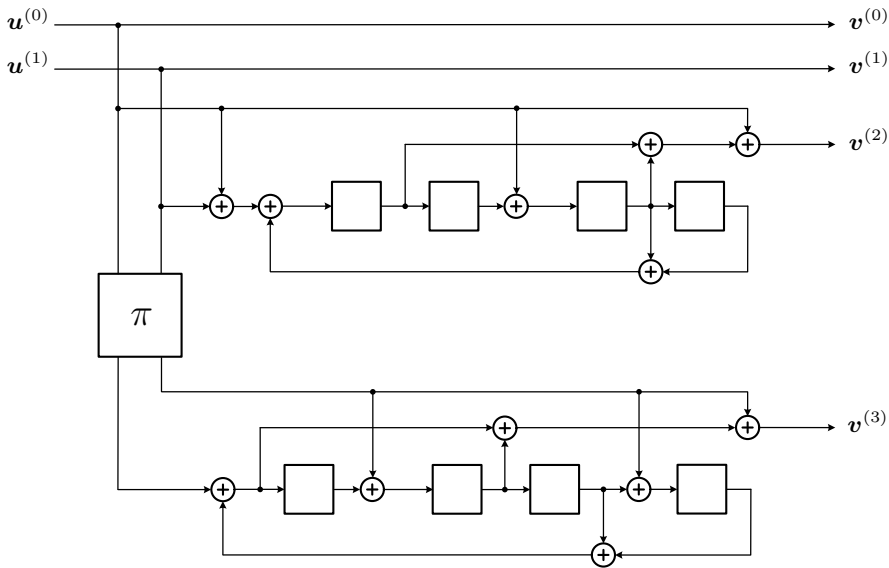


Рис. 9. Реализация кодера на рис. 5 при $\frac{f(D)}{q(D)} = \frac{1 + D + D^3 + D^4}{1 + D^3 + D^4}$ как кодера двойного турбокода

Автор благодарит рецензента за полезные замечания и предложения, позволившие значительно улучшить первоначальный вариант статьи.

СПИСОК ЛИТЕРАТУРЫ

1. Berrou C., Glavieux A., Thitimajshima P. Near Shannon Limit Error-Correcting Coding and Decoding: Turbo-Codes. 1 // Proc. IEEE Int. Conf. on Communications (ICC'93). Geneva, Switzerland. May 23–26, 1993. V. 2. P. 1064–1070. <https://doi.org/10.1109/ICC.1993.397441>
2. Berrou C., Glavieux A. Near Optimum Error Correcting Coding and Decoding // IEEE Trans. Commun. 1996. V. 44. № 10. P. 1261–1271. <https://doi.org/10.1109/26.539767>
3. Douillard C., Berrou C. Turbo Codes with Rate- $m/(m + 1)$ Constituent Convolutional Codes // IEEE Trans. Commun. 2005. V. 53. № 10. P. 1630–1638. <https://doi.org/10.1109/TCOMM.2005.857165>
4. Channel Coding in Communication Networks: From Theory to Turbocodes. London; Newport Beach, CA: ISTE, 2007.
5. Jin H., Khandecar A., McEliece R. Irregular Repeat-Accumulate Codes // Proc. 2nd Int. Symp. on Turbo Codes and Related Topics. Brest, France. Sept. 4–7, 2000. P. 1–8.
6. Johnson S.J. Iterative Error Correction: Turbo, Low-Density Parity-Check and Repeat-Accumulate Codes. Cambridge, UK; New York: Cambridge Univ. Press, 2010.
7. Abbasfar A. Turbo-like Codes: Design for High Speed Decoding. Dordrecht: Springer, 2007.
8. Deshmukh R.M., Ladhake S.A. Analysis of Various Puncturing Patterns and Code Rates: Turbo Code // Int. J. Electron. Eng. Res. 2009. V. 1. № 2. P. 79–88.
9. TM Synchronization and Channel Coding: Recommended Standard, Issue 3. CCSDS 131.0-B-3 (Blue Book, September 2017). Washington, DC: CCSDS, 2017.
10. Johannesson R., Zigangirov K.Sh. Fundamentals of Convolutional Coding. Pisacataway, NJ: IEEE Press; Hoboken, NJ: Wiley, 2015.
11. Баринюв А.Ю. Методы анализа турбоподобных кодов с учетом идентификации их компонентных перемежителей // Научно-технические технологии. 2016. Т. 17. № 12. С. 4–11.
12. Clark G., Cain J. Error-Correction Coding for Digital Communications. New York: Plenum, 1981.

13. *Morelos-Zaragoza R.H.* The Art of Error Correcting Coding. Chichester, UK: Wiley, 2002.
14. *Бочарова И.Е., Хуг Ф., Йоханнессон Р., Кудряшов Б.Д.* Дуальные сверточные коды и тождества Мак-Вильямс // Пробл. передачи информ. 2012. Т. 48. № 1. С. 26–36. <http://mi.mathnet.ru/ppi2066>
15. *Richardson T., Urbanke R.* Modern Coding Theory. Cambridge, UK: Cambridge Univ. Press, 2008.
16. *Gill A.* Linear Sequential Circuits; Analysis, Synthesis and Applications. New York: McGraw-Hill, 1966.
17. *Lee S.C.* Modern Switching Theory and Digital Design. Englewood Cliffs, NJ: Prentice-Hall, 1978.
18. *Costello D.J., Forney G.D.* Channel Coding: The Road to Channel Capacity // Proc. IEEE. 2007. V. 95. № 6. P. 1150–1177. <https://doi.org/10.1109/JPR0C.2007.895188>
19. *Баринов А.Ю., Асеев А.Ю.* Модифицированная математическая модель системы генерирования перемеженной дискретной последовательности турбоподобного кода // Вестн. ЧерГУ. 2017. № 6 (81). С. 9–18. <https://doi.org/10.23859/1994-0637-2017-6-81-1>
20. *Баринов А.Ю.* Идентификация перемежителей турбокодов на основе их полиномиального и матричного представления // Информация и космос. 2018. № 2. С. 61–66.

Баринов Антон Юрьевич
 Военный университет радиоэлектроники, Череповец
 aybarinov@mail.ru

Поступила в редакцию
 12.05.2021
 После доработки
 15.12.2021
 Принята к публикации
 03.02.2022